arXiv:0903.3604v3 [math.GR] 27 Jan 2010

ORBITES D'HURWITZ DES FACTORISATIONS PRIMITIVES D'UN ÉLÉMENT DE COXETER

VIVIEN RIPOLL

Résumé. On considère l'action d'Hurwitz du groupe de tresses usuel sur les factorisations d'un élément de Coxeter c d'un groupe de réflexions complexe bien engendré W. Il est bien connu que l'action d'Hurwitz est transitive sur l'ensemble des décompositions réduites de c en réflexions. On démontre ici une propriété similaire pour les factorisations primitives de c, *i.e.* celles dont tous les facteurs sauf un sont des réflexions. Cette étude est motivée par la recherche d'une explication géométrique de la formule de Chapoton sur le nombre de chaînes de longueur donnée dans le treillis des partitions non croisées NCP_W. La démonstration présentée repose sur les propriétés du revêtement de Lyashko-Looijenga et sur la géométrie du discriminant de W.

Mots-clés : action d'Hurwitz, groupe de réflexions complexe, élément de Coxeter, treillis des partitions non croisées, revêtement de Lyashko-Looijenga.

Abstract. We study the Hurwitz action of the classical braid group on factorisations of a Coxeter element c in a well-generated complex reflection group W. It is well known that the Hurwitz action is transitive on the set of reduced decompositions of c in reflections. Our main result is a similar property for the primitive factorisations of c, *i.e.* factorisations with only one factor which is not a reflection. The motivation is the search for a geometric proof of Chapoton's formula for the number of chains of given length in the non-crossing partitions lattice NCP_W. Our proof uses the properties of the Lyashko-Looijenga covering and the geometry of the discriminant of W.

Keywords: Hurwitz action, complex reflection group, Coxeter element, non-crossing partitions lattice, Lyashko-Looijenga covering.

Introduction

Soit V un $\mathbb{C}$-espace vectoriel de dimension finie, et $W \subseteq \mathrm{GL}(V)$ un groupe de réflexions complexe fini bien engendré (définition en partie 1.1). On note $\mathcal{R}$ l'ensemble de toutes les réflexions de W. On définit la longueur d'un élément w de W :

$$\ell(w) := \min\{k \in \mathbb{N} \mid \exists r_1, \dots, r_k \in \mathcal{R},\ w = r_1 \dots r_k\}.$$

On note $\mathrm{Red}(w)$ l'ensemble des décompositions réduites de w, *i.e.* des mots de longueur $\ell(w)$ représentant w. Ce sont donc des factorisations minimales de w en réflexions. Plus généralement, on peut définir des *factorisations par blocs* de w :

Définition 0.1. Soit $w \in W$, de longueur $n \geq 1$. Soit $1 \leq p \leq n$. Une *factorisation en p blocs* de w est un p-uplet $(u_1, \dots, u_p)$ d'éléments de $W - \{1\}$ tels que $w = u_1 \dots u_p$, avec $\ell(w) = \ell(u_1) + \dots + \ell(u_p)$. On note $\mathrm{FACT}_p(w)$ l'ensemble de ces factorisations.

Si w est de longueur n, on a donc $\textsc{fact}_n(w) = \mathrm{Red}(w)$.

Ci-dessous on définit l'action d'Hurwitz du groupe de tresses B_p sur les factorisations en p blocs d'un élément de W. Une factorisation est dite *primitive* lorsqu'elle ne comporte qu'un seul facteur qui n'est pas une réflexion (définition 0.3). Dans cet article on détermine les orbites sous l'action d'Hurwitz des factorisations primitives d'un élément de Coxeter de W (définition 1.1).

Action d'Hurwitz.

Considérons un groupe G, et un entier $n \geq 1$. On fait agir le groupe de tresses à n brins, noté B_n, sur le produit cartésien G^n :

Définition 0.2 (Action d'Hurwitz)**.** Soient $\boldsymbol{\sigma_1}, \ldots, \boldsymbol{\sigma_{n-1}}$ les générateurs standards de B_n. L'action d'Hurwitz (à droite) de B_n sur G^n est définie par :

$$(g_1, \ldots, g_n) \cdot \boldsymbol{\sigma_i} \ := \ (g_1, \ldots, g_{i-1},\ g_{i+1},\ g_{i+1}^{-1} g_i g_{i+1},\ g_{i+2}, \ldots, g_n)$$

pour tout $(g_1, \ldots, g_n) \in G^n$ et tout $i \in \{1, \ldots, n-1\}$.

On vérifie aisément que cette définition donne bien une action du groupe de tresses. Cela vient essentiellement du fait que la conjugaison fait partie de la classe des opérations auto-distributives : $f * (g * h) = (f * g) * (f * h)$ (ici $f * g = f^{-1} g f$). L'intérêt de ces opérations a été décrit par Brieskorn (ensembles automorphes [13]) et plus récemment par Dehornoy (LD-systèmes [18]).

Factorisations primitives.

L'action d'Hurwitz préserve les fibres de l'application produit $(g_1, \ldots, g_n) \mapsto g_1 \ldots g_n$. Ainsi, si l'on revient au cadre décrit plus haut, où W est un groupe de réflexions complexe muni de sa partie génératrice naturelle $\mathcal{R}$, on obtient une action d'Hurwitz du groupe de tresses B_p sur l'ensemble des factorisations en p blocs de w (définition 0.1), pour tout $w \in W$ et $1 \leq p \leq \ell(w)$.

Considérons $(u_1, \ldots, u_p) \in \textsc{fact}_p(w)$. Le p-uplet $(\ell(u_1), \ldots, \ell(u_p))$ définit donc une composition (*i.e.* une partition ordonnée) de l'entier $n = \ell(w)$. Si μ est une composition de n en p termes, on note $\textsc{fact}_\mu(w)$ l'ensemble des factorisations dont les longueurs des facteurs forment la composition μ.

Si l'on fait agir B_p sur un élément de $\textsc{fact}_\mu(w)$, la composition de n associée peut être modifiée, mais pas la partition de n (non ordonnée) sous-jacente. En effet, l'ensemble $\mathcal{R}$ des réflexions étant invariant par conjugaison, la longueur ℓ est également invariante par conjugaison.

On dit qu'une factorisation en p blocs est de forme λ, pour λ partition de n (notation : $\lambda \vdash n$), si le p-uplet non ordonné des longueurs des facteurs constitue la partition λ. On note $\textsc{fact}_\lambda(w)$ l'ensemble des factorisations de forme λ. Ainsi, l'action d'Hurwitz de B_p sur $\textsc{fact}_p(w)$ stabilise les ensembles $\textsc{fact}_\lambda(w)$, pour $\lambda \vdash n$ et $\#\lambda = p$ ($\#\lambda$ désignant le nombre de parts de la partition λ).

Pour $\lambda \vdash n$, on note classiquement $\lambda = k_1^{p_1} \ldots k_r^{p_r}$ (où $k_1 > \cdots > k_r \geq 1$ et $p_i \geq 1$), si la partition est constituée de p_1 fois l'entier k_1, …, p_r fois l'entier k_r.

Définition 0.3. Une *factorisation primitive* de w est une factorisation par blocs de w, de forme $k^1 1^{n-k} \vdash n$, pour $k \geq 2$: tous les blocs sauf un doivent être des réflexions. L'unique facteur de longueur strictement supérieure à 1 est appelé *facteur long* de la factorisation primitive.

On étudie ici les factorisations d'un *élément de Coxeter*, au sens de [6] (voir définition 1.1). Dans le cas réel, on retrouve la notion classique d'élément de Coxeter. Dans la suite de l'introduction, on précisera l'intérêt fondamental des éléments de Coxeter dans certaines constructions algébriques relatives à un groupe de réflexions complexe bien engendré.

Considérons un élément de Coxeter c de W, et notons n sa longueur. Le cas le plus élémentaire des factorisations de forme $1^n \vdash n$, *i.e.* des décompositions réduites de c, est connu : on sait que l'action d'Hurwitz sur $\mathrm{Red}(c) = \mathrm{FACT}_{1^n}(c)$ est transitive. Dans un premier temps cette propriété a été prouvée pour les groupes réels ([20], puis [5, Prop.1.6.1]), avec une preuve générale, puis vérifiée au cas par cas pour le reste des groupes complexes [6, Prop.7.5].

Le cas que nous traitons ici peut se voir comme l'étape suivante, c'est-à-dire la détermination des orbites d'Hurwitz des factorisations primitives de c. Le résultat principal de cet article est le suivant :

Théorème 0.4 (Orbites d'Hurwitz primitives)**.** *Soit W un groupe de réflexions complexe fini, bien engendré. Soit c un élément de Coxeter de W. Alors, deux factorisations primitives de c sont dans la même orbite d'Hurwitz si et seulement si leurs facteurs longs sont conjugués.*

L'idée de la preuve est d'utiliser certaines constructions de Bessis [6] pour obtenir les factorisations de c à partir de la géométrie du discriminant de W dans l'espace-quotient $W\backslash V$ (qui s'identifie à $\mathbb{C}^n$ si on a choisi des invariants fondamentaux $f_1, \ldots, f_n$). On interprète ensuite l'action d'Hurwitz en termes géométriques.

Dans une première partie on rappelle les définitions classiques et les propriétés de l'ordre de divisibilité dans le treillis des partitions non croisées généralisées, noté $\mathrm{NCP}_W(c)$. La partie 2 présente une notion de forte conjugaison pour les éléments de $\mathrm{NCP}_W(c)$, qui permet de formuler une version plus forte du théorème principal 0.4.

Par la suite, on considère l'hypersurface $\mathcal{H}$ de $\mathbb{C}^n$, d'équation le discriminant de W, qui admet une stratification naturelle (par les orbites de plats). On projette cette hypersurface sur $\mathbb{C}^{n-1}$ (en oubliant la coordonnée correspondant à l'invariant de plus haut degré f_n), et on en déduit une stratification du lieu de bifurcation $\mathcal{K}$ de $\mathcal{H}$. En partie 3 on rappelle les propriétés du revêtement de Lyashko-Looijenga LL , puis dans la partie suivante on modifie légèrement les constructions de [6], en définissant une application fact qui produit des factorisations associées à la géométrie de $\mathcal{H}$. Dans la partie 5, on démontre des propriétés plus fines du morphisme LL, qui apparaît alors comme un revêtement ramifié « stratifié ». On en déduit que l'ensemble des orbites d'Hurwitz des factorisations primitives est en bijection avec l'ensemble des composantes connexes par arcs de certains ouverts des strates de $\mathcal{K}$. La démonstration du théorème revient ainsi à un problème de connexité dans $\mathcal{K}$ (traité en parties 6 et 7), et est achevée en partie 8 par l'étude du cas particulier des réflexions.

Dans la partie 6, on détaille les propriétés de la stratification de $\mathcal{H}$. À cette occasion, des conséquences remarquables de certaines propriétés énoncées dans [6] sont exposées, en particulier concernant les sous-groupes paraboliques de W, leurs classes de conjugaison et leurs éléments de Coxeter.

La suite de cette introduction présente les motivations du problème.

Treillis des partitions non croisées, monoïde de tresses dual.

Fixons un élément de Coxeter c dans W. On note $\preccurlyeq$ l'ordre partiel sur W associé à la R-longueur ℓ (voir définition 1.2) :

$$u \preccurlyeq v \text{ si et seulement si} \ell(u) + \ell(u^{-1}v) = \ell(v).$$

On considère l'ensemble des diviseurs de c : $\mathrm{NCP}_W(c) := \{w \in W \mid w \preccurlyeq c\}$ (la notation NCP signifie « non-crossing partitions », cf. interprétation ci-dessous).

L'ensemble partiellement ordonné $(\mathrm{NCP}_W(c), \preccurlyeq)$ permet de construire les générateurs (appelés les *simples*) du *monoïde de tresses dual* de W (cf. [9] pour le type A, [5] et [11] pour les groupes réels, puis [6] pour le cas général).

L'étude de la combinatoire de $\mathrm{NCP}_W(c)$ est au départ motivée par les conséquences sur les propriétés algébriques du monoïde dual. Ainsi, une des propriétés remarquables de $\mathrm{NCP}_W(c)$ est qu'il forme un treillis pour l'ordre $\preccurlyeq$: preuve générale dans le cas réel par Brady et Watt [12] (voir aussi [21]), le reste au cas par cas, cf. [6, Lemme 8.9]. C'est essentiellement cette propriété de treillis qui donne au monoïde de tresses dual sa structure de monoïde de Garside (comme défini dans [19]).

Mais la richesse de la structure combinatoire de $\mathrm{NCP}_W(c)$ en a fait plus récemment un objet d'étude en soi (voir par exemple [1]). Dans le cas du groupe $W(A_{n-1})$, ce treillis correspond à l'ensemble des partitions non croisées d'un n-gone, et est à la base de la construction du monoïde de Birman-Ko-Lee [9, 8]. Pour les groupes de type $G(e, e, r)$, on peut également interpréter l'ensemble des diviseurs de c comme certains types de partitions non croisées [7]. Par extension, l'ensemble $\mathrm{NCP}_W(c)$ des diviseurs d'un élément de Coxeter dans un groupe bien engendré est appelé le *treillis des partitions non croisées généralisées* (d'où la notation NCP).

Formule de Chapoton pour les chaînes de $\mathrm{NCP}_W(c)$ et factorisations de c.

Si W n'est pas irréductible et s'écrit $W_1 \times W_2$, alors le treillis $\mathrm{NCP}_W(c)$ est le produit des treillis $\mathrm{NCP}_{W_1}(c_1)$ et $\mathrm{NCP}_{W_2}(c_2)$ (où c_i désigne la composante de c sur W_i), muni de l'ordre produit. Dans cette partie on supposera que W est irréductible.

Notons $d_1 \leq \cdots \leq d_n = h$ les degrés invariants de W. Une formule, énoncée initialement par Chapoton, exprime le nombre de chaînes de longueur donnée dans le treillis $\mathrm{NCP}_W(c)$ en fonction de ces degrés. Notons Z_W le polynôme *Zêta* de $\mathrm{NCP}_W(c)$: c'est la fonction sur $\mathbb{N}$ telle que pour tout N, $Z_W(N)$ est le nombre de chaînes larges (ou multi-chaînes) $w_1 \preccurlyeq \ldots \preccurlyeq w_{N-1}$ dans $(\mathrm{NCP}_W(c), \preccurlyeq)$ (de façon générale Z_W est toujours un polynôme : voir par exemple Stanley [28, Chap. 3.11]).

Proposition 0.5. *Soit W un groupe de réflexions complexe bien engendré, irréductible. Alors, avec les notations ci-dessus, on a :*

$$Z_W(N) = \prod_{i=1}^{n} \frac{d_i + (N-1)h}{d_i}.$$

Dans le cas des groupes réels, cette formule a été observée par Chapoton [17, Prop. 9], utilisant des calculs de Reiner et Athanasiadis [26, 3]. La généralisation aux groupes complexes est énoncée par Bessis [6, Prop. 13.1] et utilise des résultats de Bessis et Corran [7]. La preuve est au cas par cas : méthodes *ad hoc* pour les séries infinies, et logiciel GAP pour les types exceptionnels. Pour le cas réel, une démonstration plus directe (utilisant une formule de récurrence générale qui permet de faire la vérification au cas par cas plus simplement) a été récemment publiée par Reading [25]. L'apparente simplicité de la formule de Chapoton motive toujours la recherche d'une explication complètement générale.

En posant $N = 2$ dans l'expression de $Z_W(N)$ on obtient naturellement le cardinal de $\mathrm{NCP}_W(c)$:

$$|\mathrm{NCP}_W(c)| = \prod_{i=1}^{n} \frac{d_i + h}{d_i}.$$

Même pour cette formule, la seule preuve connue à l'heure actuelle est au cas par cas. L'entier $|\mathrm{NCP}_W(c)|$, parfois noté $\mathrm{Cat}(W)$, est appelé *nombre de Catalan de type W* : pour $W = A_{n-1}$ on obtient en effet le nombre de Catalan classique $\frac{1}{n+1}\binom{2n}{n}$.

Les factorisations de c sont bien évidemment reliées aux chaînes de $\mathrm{NCP}_W(c)$. Partant d'une chaîne $w_1 \preccurlyeq \ldots \preccurlyeq w_p \preccurlyeq c$, on peut obtenir une factorisation par blocs $c = u_1 \ldots u_{p+1}$ en posant $u_1 = w_1$, $u_i = w_{i-1}^{-1} w_i$ pour $2 \leq i \leq p$, et $u_{p+1} = w_p^{-1} c$. Inversement, à partir d'une telle factorisation de c on peut obtenir une chaîne de $\mathrm{NCP}_W(c)$. Ainsi, dénombrer les chaînes dans $\mathrm{NCP}_W(c)$ revient à compter le nombre de *factorisations par blocs* de c de tailles fixées.

Toutefois, on a choisi ici de travailler sur des factorisations « strictes » (pas de facteurs triviaux), alors que la formule de Chapoton concerne les chaînes larges. Ce choix est motivé par le fait que ce sont des factorisations strictes qui apparaissent géométriquement via l'application « fact » (construite en partie 4). Les nombres de factorisations strictes et les nombres de chaînes larges sont alors liés par la formule suivante (on utilise les formules de passage entre nombres de chaînes strictes et nombres de chaînes larges, données par exemple dans [28, Chap. 3.11]) :

$$Z_W(N) = \sum_{k \geq 1} |\mathrm{FACT}_k(c)| \binom{N}{k}.$$

Une piste pour une démonstration générale de la formule de Chapoton est donc l'étude de la combinatoire des factorisations par blocs.

Remerciements. Je tiens à remercier vivement David Bessis pour ses conseils et son aide sur de nombreux points de cet article. Merci également à Emmanuel Lepage dont une remarque judicieuse a permis de simplifier la partie 7.2.

1. Ordre de divisibilité dans NCP_W

1.1. Éléments de Coxeter.

Soit V un espace vectoriel complexe de dimension $n \geq 1$, et $W \subseteq \mathrm{GL}(V)$ un groupe de réflexions complexe. On suppose que W est essentiel, *i.e.* que $V^W = \{0\}$. Dans ce cas, on dit que W est un groupe de réflexions *bien engendré* si un ensemble de n réflexions suffit à l'engendrer. Désormais on supposera toujours que W est un groupe de réflexions complexe bien engendré.

Soit α une racine de l'unité. On dit qu'un élément de W est *α-régulier* (au sens de Springer [27]) s'il possède un vecteur propre régulier (*i.e.* n'appartenant à aucun des hyperplans de réflexions) pour la valeur propre α. Si W est irréductible, notons $d_1 \leq \cdots \leq d_n$ les degrés invariants de W. On note h et on appelle *nombre de Coxeter* le plus grand degré d_n. D'après la théorie de Springer ([27], résumé dans [6, Thm. 1.9]), il existe dans W des éléments $e^{2i\pi/h}$-réguliers. Dans ce cadre, en généralisant le cas réel, on pose la définition suivante.

Définition 1.1. Soit W un groupe de réflexions complexe fini bien engendré. Si W est irréductible, un *élément de Coxeter* de W est un élément $e^{2i\pi/h}$-régulier. Dans le cas général, on appelle *élément de Coxeter* un produit d'éléments de Coxeter des composantes irréductibles de W.

1.2. Ordre de divisibilité dans W.

On définit ci-dessous l'ordre de divisibilité à gauche dans W (parfois appelé ordre absolu). Rappelons que pour $w \in W$, $\ell(w)$ désigne la longueur d'une décomposition réduite de w en réflexions de W.

Définition 1.2. Soient $u, v \in W$. On pose :

$$u \preccurlyeq v \text{ si et seulement si} \ell(u) + \ell(u^{-1}v) = \ell(v)$$

La relation $\preccurlyeq$ munit W d'une structure d'ensemble partiellement ordonné : u divise v si et seulement si u peut s'écrire comme un préfixe d'une décomposition réduite de v. Comme $\mathcal{R}$ est invariant par conjugaison, on a aussi $u \preccurlyeq v$ si et seulement si u est un suffixe (ou même un sous-facteur) d'une décomposition réduite de v. Ainsi, l'ordre $\preccurlyeq$ coïncide avec l'ordre de divisibilité à droite dans W.

Considérons un élément de Coxeter c de W. On note $\mathrm{NCP}_W(c)$ l'ensemble des diviseurs de c dans W. D'après la théorie de Springer, tous les éléments de Coxeter de W sont conjugués. D'autre part, l'ordre $\preccurlyeq$ est invariant par conjugaison, donc si $c' = aca^{-1}$, alors $\mathrm{NCP}_W(c') = a\,\mathrm{NCP}_W(c)a^{-1}$. Ainsi, la structure de $\mathrm{NCP}_W(c)$ ne dépend pas du choix de l'élément de Coxeter c ; on notera souvent simplement NCP_W.

Dans NCP_W, la longueur correspond toujours à la codimension de l'espace des points fixes :

Proposition 1.3. *Soit $w \in \mathrm{NCP}_W$. Alors :*

$$\ell(w) = \operatorname{codim} \operatorname{Ker}(w-1).$$

Remarque 1.4. Cela revient à dire que pour les éléments de NCP_W, la longueur relativement à $\mathcal{R}$ est la même que la longueur relativement à l'ensemble de toutes les réflexions du groupe unitaire $\mathrm{U}(V)$. Dans le cas des groupes réels, cette propriété est vraie pour tout élément de W (cf. [16, Lemme 2.8], ou [11, Prop.2.2]).

Démonstration : On a toujours $\ell(w) \geq \operatorname{codim} \operatorname{Ker}(w-1)$. En effet, si $w = r_1 \dots r_k$ alors $\operatorname{Ker}(w-1) \supseteq \bigcap_i \operatorname{Ker}(r_i - 1)$. Donc pour il suffit de montrer que $\ell(c) = n$ (considérer w et $w^{-1}c$). L'inégalité $\ell(c) \geq n$ est évidente car $\operatorname{Ker}(c-1) = \{0\}$ d'après la théorie de Springer. On conclut en notant qu'on peut construire géométriquement des factorisations de c en n réflexions ([6, Lemme 7.2] ou partie 4 de cet article). □

1.3. **Théorème de Brady-Watt.**

Une conséquence de la proposition 1.3 est que l'ordre $\preccurlyeq$ dans NCP_W est la restriction de l'ordre partiel sur $\mathrm{U}(V)$ étudié par Brady et Watt dans [10] : $u \preccurlyeq v$ si et seulement si $\operatorname{Im}(u-1) \oplus \operatorname{Im}(u^{-1}v - 1) = \operatorname{Im}(v)$. On en déduit en particulier :

Proposition 1.5. *Soit $w \in \mathrm{NCP}_W$. Si $(r_1, \dots, r_p)$ est une décomposition réduite de w, alors* $\operatorname{Ker}(w-1) = \operatorname{Ker}(r_1 - 1) \cap \dots \cap \operatorname{Ker}(r_k - 1)$.

Les résultats de [10] sont donnés dans le cadre de $\mathrm{O}(V)$ pour V espace euclidien, mais restent valables sans modifications dans $\mathrm{U}(V)$ avec V hermitien complexe. On pourra donc appliquer le théorème suivant :

Théorème 1.6 (Brady-Watt)**.** *Pour tout $g \in \mathrm{U}(V)$, l'application*

$$\begin{array}{rcl} (\{f \in \mathrm{U}(V) \mid f \preccurlyeq g\},\ \preccurlyeq) & \to & (\{\text{s.e.v. de } V \text{ contenant } \operatorname{Ker}(g-1)\},\ \supseteq) \\ f & \mapsto & \operatorname{Ker}(f-1) \end{array}$$

est un isomorphisme d'ensembles partiellement ordonnés.

Par conséquent, l'application $w \mapsto \operatorname{Ker}(w-1)$ est injective sur NCP_W.

2. Action d'Hurwitz sur les factorisations primitives et conjugaison forte dans NCP_W

Soit $p \in \{1, \dots, n\}$. Le groupe de tresses classique B_p agit par action d'Hurwitz sur l'ensemble $\mathrm{FACT}_p(c)$ des factorisations en p blocs de c, selon la définition 0.2. Dans le cas où $p = n$, l'action de B_n est transitive sur $\mathrm{FACT}_n(c) = \mathrm{Red}(c)$. Ce n'est pas vrai dans le cas général, puisque des invariants évidents apparaissent :

- la partition de n associée au p-uplet des longueurs des facteurs ;
- le multi-ensemble des classes de conjugaison des facteurs (car l'action d'Hurwitz conjugue les facteurs).

Plus précisément, l'action d'Hurwitz conjugue les facteurs par d'autres facteurs « dont les longueurs s'ajoutent ». Cela motive l'introduction d'une notion plus forte de conjugaison.

Définition 2.1. Pour $w, w' \in \mathrm{NCP}_W(c)$, on définit la relation « w et w' sont fortement conjugués dans $\mathrm{NCP}_W(c)$ » (notée $w \overset{c}{\sim} w'$) comme la clôture transitive et symétrique de la relation suivante :

$w \overset{1}{\sim} w'$ s'il existe $x \in W$ tel que $xw = w'x$, avec $xw \in \mathrm{NCP}_W(c)$ et $\ell(xw) = \ell(x) + \ell(w)$.

Remarque 2.2. Bien sûr la relation $\overset{1}{\sim}$ reflète l'incidence, sur un facteur, de l'action d'Hurwitz d'une tresse élémentaire $\boldsymbol{\sigma_i}$ sur une factorisation de c. Par transitivité, si une tresse β transforme une factorisation ξ en une factorisation ξ', et envoie le numéro d'un facteur w de ξ sur celui d'un facteur w' de ξ', alors w et w' sont fortement conjugués.

On voit facilement qu'on obtient la même relation d'équivalence si on impose que les conjugateurs x de la définition soient toujours des réflexions de NCP_W. En effet, si w et w' sont tels que $w \overset{1}{\sim} w'$, notons x un élément de W tel que $xw = w'x \in \mathrm{NCP}_W$, avec $\ell(xw) = \ell(x) + \ell(w)$. Si l'on décompose x en produit minimal de réflexions ($x = r_1 \dots r_k$), et si l'on note $u \overset{\mathrm{ref}}{\sim} v$ la relation « u est élémentairement conjugué à v par une réflexion », alors on a : $w \overset{\mathrm{ref}}{\sim} r_k w r_k^{-1} \overset{\mathrm{ref}}{\sim} r_{k-1} r_k w r_k^{-1} r_{k-1}^{-1} \overset{\mathrm{ref}}{\sim} \dots \overset{\mathrm{ref}}{\sim} xwx^{-1} = w'$. Cette remarque permet de faire le lien avec les orbites d'Hurwitz de *factorisations primitives* de c, où tous les facteurs sauf un sont des réflexions (cf. définition 0.3).

Proposition 2.3. *Soient $u, v \in \mathrm{NCP}_W$, de longueurs strictement supérieures à 1. Alors les propriétés suivantes sont équivalentes :*

(i) u et v sont fortement conjugués dans NCP_W ;

(ii) il existe $\xi = (u, r_2, \dots, r_k)$ et $\xi' = (v, r'_2, \dots, r'_k)$ deux factorisations primitives de c, avec u (resp. v) facteur long de ξ (resp. ξ'), telles que ξ et ξ' soient dans la même orbite d'Hurwitz sous B_k.

Remarque 2.4. Dans le cas des réflexions, on a une proposition similaire, mais il faut s'assurer que la (permutation associée à la) tresse qui transforme ξ en ξ' envoie le numéro de la position de u sur celui de la position de v.

Démonstration : (ii) $\Rightarrow$ (i) est clair par définition, puisque, étant donnée l'invariance de la longueur par conjugaison, v est nécessairement obtenu à partir de u par forte conjugaison (cf. remarque 2.2). Pour le sens direct, montrons d'abord (ii) lorsque u et v sont tels que $ur = rv \preccurlyeq c$, avec $r \in \mathcal{R}$ et $\ell(ur) = \ell(u) + 1$. Il suffit dans ce cas de prendre une factorisation quelconque de c qui commence par (u, r), et de faire agir la tresse $\boldsymbol{\sigma_1^2}$. On conclut par transitivité. □

Ainsi le théorème 0.4 se déduit du théorème suivant, qui donne également des propriétés supplémentaires de l'action d'Hurwitz sur $\mathrm{Red}(c)$:

Théorème 2.5. *Soit $u, v \in \mathrm{NCP}_W$. Alors u et v sont fortement conjugués dans NCP_W si et seulement si u et v sont conjugués dans W.*

On aura ainsi déterminé les orbites d'Hurwitz de factorisations primitives. Toutefois, cela ne suffit pas pour comprendre complètement l'action d'Hurwitz sur les factorisations

de forme quelconque. En effet, pour toute factorisation, le multi-ensemble des classes de conjugaison forte des facteurs est naturellement invariant par l'action d'Hurwitz. Cependant, pour les factorisations non primitives, la condition n'est en général pas suffisante pour que deux factorisations soient dans la même orbite. Par exemple, dans le cas où $p = 2$, l'orbite d'Hurwitz de $(u_1, u_2) \in \text{FACT}_2(c)$ est $\{(u_1^{c^k}, u_2^{c^k}), (u_2^{c^{k+1}}, u_1^{c^k}), k \in \mathbb{Z}\}$ (où la notation u^v désigne le conjugué $v^{-1}uv$). Donc dans le type A, cela revient à agir par rotation sur le diagramme des partitions non-croisées. On peut ainsi facilement trouver un contre-exemple dans $\mathfrak{S}_6$. Posons $u_1 = (2\ 3)(1\ 5\ 6), u_2 = (1\ 3\ 4)$, et $v_1 = (3\ 4)(1\ 5\ 6)$, $v_2 = (1\ 2\ 4)$: alors les factorisations (u_1, u_2) et (v_1, v_2) de $\text{FACT}_2((1\ 2\ 3\ 4\ 5\ 6))$ ne sont pas dans la même orbite d'Hurwitz sous B_2, alors que u_1 et v_1, resp. u_2 et v_2, sont conjugués. Le problème vient du fait que lorsqu'on fait agir B_p par action d'Hurwitz, les conjugateurs qui s'appliquent ne sont pas quelconques, mais doivent être des éléments qui sont aussi des facteurs (en particulier pas nécessairement des réflexions).

Désormais on supposera toujours que W est irréductible (et bien engendré). Si W n'est pas irréductible, le théorème 2.5 pour W se déduit du cas irréductible : on vérifie aisément qu'il suffit d'appliquer le résultat à chacune des composantes irréductibles de W.

3. Le morphisme de Lyashko-Looijenga

Dans cette partie on rappelle la construction du morphisme de Lyashko-Looijenga de [6, Part. 5], et on fixe des notations et conventions concernant l'espace de configuration de n points.

Le morphisme de Lyashko-Looijenga a été introduit par Lyashko en 1973 (selon Arnold [2]) et indépendamment par Looijenga dans [24] : voir [22, Chap.5.1] et [23] pour un historique détaillé. Bessis, dans [6], a généralisé la définition de LL à tous les groupes de réflexions complexes bien engendrés, le cas inititial correspondant aux groupes de Weyl.

3.1. **Discriminant d'un groupe bien engendré.**

Soit $W \subseteq \text{GL}(V)$ un groupe de réflexions complexe bien engendré, irréductible. Fixons une base $v_1, \ldots, v_n$ de V^*, et $f_1, \ldots, f_n$ dans $S(V^*) = \mathbb{C}[v_1, \ldots, v_n]$ un système d'invariants fondamentaux, polynômes homogènes de degrés uniquement déterminés $d_1 \leq \cdots \leq d_n = h$, tels que $\mathbb{C}[v_1, \ldots, v_n]^W = \mathbb{C}[f_1, \ldots, f_n]$ (théorème de Shephard-Todd-Chevalley). On a l'isomorphisme

$$\begin{array}{rcl} W\backslash V & \xrightarrow{\sim} & \mathbb{C}^n \\ \bar{v} & \mapsto & (f_1(v), \ldots, f_n(v)). \end{array}$$

Notons $\mathcal{A}$ l'ensemble des hyperplans de réflexions de W. L'équation de $\bigcup_{H \in \mathcal{A}} H$ peut s'écrire comme un polynôme invariant, noté Δ, le discriminant de W :

$$\Delta = \prod_{H \in \mathcal{A}} \alpha_H^{e_H} \in \mathbb{C}[f_1, \ldots, f_n],$$

où α_H est une forme linéaire de noyau H et e_H est l'ordre du sous-groupe parabolique cyclique W_H.

Lorsque W est bien engendré, il existe un système d'invariants $f_1, \dots, f_n$ tel que le discriminant Δ de W s'écrive :

$$\Delta = f_n^n + a_2 f_n^{n-2} + \cdots + a_n,$$

où les a_i sont des polynômes en $f_1, \dots, f_{n-1}$ [6, Thm. 2.4]. La propriété fondamentale est que Δ est un polynôme monique de degré n en f_n (le coefficient de f_n^{n-1} est rendu nul par simple translation de la variable f_n).

On note :

$$\mathcal{H} := \{\bar{v} \in W \backslash V \mid \Delta(\bar{v}) = 0\} = p\left(\bigcup_{H \in \mathcal{A}} H\right),$$

où p est le morphisme quotient $V \twoheadrightarrow W\backslash V$. Désormais, lorsqu'on se placera dans l'espace quotient, on considèrera $(f_1, \dots, f_n)$ comme les coefficients des points de $W\backslash V \simeq \mathbb{C}^n$.

Le morphisme de Lyashko-Looijenga LL, que l'on définira précisément en partie 3.3, permet d'étudier l'hypersurface $\mathcal{H}$ à travers les fibres de la projection $(f_1, \dots, f_n) \mapsto (f_1, \dots, f_{n-1})$. Ensemblistement, LL associe à $(f_1, \dots, f_{n-1}) \in \mathbb{C}^{n-1}$ le multi-ensemble des racines de $\Delta(f_1, \dots, f_n)$ vu comme polynôme en f_n. Dans la partie suivante on fixe les notations et définitions concernant l'espace d'arrivée de LL.

3.2. **L'espace des configurations de n points.**

On note E_n l'ensemble des configurations centrées de n points, avec multiplicités, *i.e.*

$$E_n := H_0/\mathfrak{S}_n$$

où H_0 est l'hyperplan de $\mathbb{C}^n$ d'équation $\sum x_i = 0$. Considérons le morphisme quotient $f : H_0 \to E_n$. C'est un morphisme fini (donc fermé), correspondant à l'inclusion

$$\mathbb{C}[e_1, \dots, e_n]/(e_1) \hookrightarrow \mathbb{C}[x_1, \dots, x_n]/(\sum x_i),$$

où $e_1, \dots, e_n$ désignent les fonctions symétriques élémentaires en les x_i. L'espace E_n est une variété algébrique, son anneau des fonctions régulières sera noté $\mathbb{C}[e_2, \dots, e_n]$.

On peut stratifier naturellement E_n par les partitions de l'entier n. Pour $\lambda \vdash n$, on note E_λ^0 l'ensemble des configurations $X \in E_n$ dont les multiplicités sont distribuées selon λ. Ainsi, E_n est l'union disjointe des E_λ^0.

Une partie E_λ^0 n'est pas fermée ; des points peuvent fusionner et on obtiendra une configuration correspondant à une partition moins fine :

Définition 3.1. Soient λ, μ deux partitions de n. On note $\mu \leq \lambda$ la relation « μ est *moins fine* que λ », *i.e.* μ est obtenue à partir de λ après un ou plusieurs regroupements de parts.

On pose $E_\lambda := \bigsqcup_{\mu \leq \lambda} E_\mu^0$ (le symbole $\bigsqcup$ désigne une union disjointe).

Ainsi, pour $\varepsilon := 1^n \vdash n$, E_ε est l'espace E_n entier, et E_ε^0 est l'ensemble des points réguliers de E_n, que l'on notera E_n^{reg}. On a $E_n^{\mathrm{reg}} = H_0^{\mathrm{reg}}/\mathfrak{S}_n$, où $H_0^{\mathrm{reg}} = \{(x_1, \dots, x_n) \in H_0 \mid \forall i \neq j,\ x_i \neq x_j\}$. Pour $\alpha := 2^1 1^{n-2} \vdash n$, on a $E_\alpha = E_n - E_n^{\mathrm{reg}}$.

Pour la topologie classique, comme pour la topologie de Zariski, E_λ est un fermé qui est l'adhérence de E_λ^0.

Fixons une configuration de référence X° dans E_n^{reg}, par exemple sur la droite réelle. On note $B_n := \pi_1(E_n^{\mathrm{reg}}, X^\circ)$ le groupe de tresses à n brins. On a la présentation classique :

$$B_n \simeq \langle \boldsymbol{\sigma_1}, \ldots, \boldsymbol{\sigma_{n-1}} \,|\boldsymbol{\sigma_i\sigma_{i+1}\sigma_i} = \boldsymbol{\sigma_{i+1}\sigma_i\sigma_{i+1}}, \boldsymbol{\sigma_i\sigma_j} = \boldsymbol{\sigma_j\sigma_i} \text{ pour } |i-j|>1\rangle\,,$$

où par convention $\boldsymbol{\sigma_i}$ est représenté par le chemin suivant dans le plan complexe :

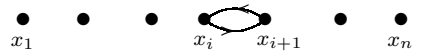

Tout chemin dans E_n^{reg} peut être vu comme un élément du groupe de tresses B_n. Précisons la construction, qui sera importante par la suite. On définit l'ordre lexicographique sur $\mathbb{C}$: $z \leq_{\mathrm{lex}} z' \Leftrightarrow [\mathrm{re}(z) \leq \mathrm{re}(z')]$ et $[\mathrm{re}(z) = \mathrm{re}(z') \;\Rightarrow\; \mathrm{im}(z) \leq \mathrm{im}(z')]$.

Soit X une configuration quelconque de E_n^{reg}, et posons $\widetilde{X} = (x_1, \ldots, x_n)$ son support ordonné pour $\leq_{\mathrm{lex}}$. Considérons un chemin $t \mapsto (x_1(t), \ldots, x_n(t))$ dans H_0^{reg} de $\widetilde{X}$ vers $\widetilde{X^\circ}$ (le support ordonné de X°), tel que pour tout t, $x_1(t) \leq_{\mathrm{lex}} \ldots \leq_{\mathrm{lex}} x_n(t)$. Il détermine une unique classe d'homotopie de chemin de X vers X°, que l'on note γ_X. Si $X, X' \in E_n^{\mathrm{reg}}$, on fixe ainsi une bijection entre le groupe $\pi_1(E_n^{\mathrm{reg}}, X^\circ)$ et l'ensemble des classes d'homotopie de chemin de X vers X' par : $\tau \mapsto \gamma_X \cdot \tau \cdot \gamma_{X'}^{-1}$.

Via ces conventions, on pourra désormais considérer tout chemin dans E_n^{reg} comme un élément de B_n. De la même façon, si λ est une partition de n, on peut associer à tout chemin de E_λ^0 un élément de B_r, où $r = \#\lambda$ est le nombre de parts de λ : on considère simplement le mouvement du support de la configuration. On utilisera ces conventions dans la proposition 4.7 et le lemme 5.4.

3.3. **Définitions et propriétés du morphisme** LL.

On pose $Y := \operatorname{Spec}\mathbb{C}[f_1, \ldots, f_{n-1}] \simeq \mathbb{C}^{n-1}$. D'autre part, $E_n = \operatorname{Spec}\mathbb{C}[e_2, \ldots, e_n]$. Rappelons que $a_2, \ldots, a_n$, éléments de $\mathbb{C}[f_1, \ldots, f_{n-1}]$, désignent les coefficients du discriminant Δ en tant que polynôme en f_n.

Définition 3.2 ([6, Def.5.1])**.** Le morphisme de Lyashko-Looijenga (généralisé) est le morphisme de Y dans E_n défini algébriquement par :

$$\begin{array}{rcl} \mathbb{C}[e_2, \ldots, e_n] & \to & \mathbb{C}[f_1, \ldots, f_{n-1}] \\ e_i & \mapsto & (-1)^i a_i \end{array}$$

Ensemblistement, LL envoie $y = (f_1, \ldots, f_{n-1}) \in Y$ sur le multi-ensemble (élément de E_n) des racines du polynôme $\Delta = f_n^n + a_2(y) f_n^{n-2} + \cdots + a_n(y)$, *i.e.* les intersections, avec multiplicité, de $\mathcal{H}$ avec la droite $L_y := \{(y, f_n) \mid f_n \in \mathbb{C}\}$. On peut voir aussi LL comme le morphisme algébrique qui envoie $y \in Y$ sur $(a_2, \ldots, a_n)$: il est alors quasi-homogène pour les poids : $\deg f_i = d_i$, $\deg a_i = ih$.

On pose $\mathcal{K} := \{y \in Y \mid \operatorname{Disc}(\Delta(y, f_n); f_n) = 0\}$, appelé lieu de bifurcation de Δ. C'est le lieu où Δ a des racines multiples en tant que polynôme en f_n. Ainsi $\mathcal{K} = \mathrm{LL}^{-1}(E_\alpha)$ et $Y - \mathcal{K} = \mathrm{LL}^{-1}(E_n^{\mathrm{reg}})$, avec les notations de la partie 3.2. Les propriétés fondamentales de LL sont données par le théorème suivant :

Théorème 3.3 ([6, Thm. 5.3])**.** *Les polynômes $a_2, \dots, a_n \in \mathbb{C}[f_1, \dots, f_{n-1}]$ sont algébriquement indépendants, et $\mathbb{C}[f_1, \dots, f_{n-1}]$ est un $\mathbb{C}[a_2, \dots, a_n]$-module libre gradué de rang $\frac{n!h^n}{|W|}$. Par conséquent, LL est un morphisme fini. De plus, sa restriction $Y - \mathcal{K} \twoheadrightarrow E_n^{\mathrm{reg}}$ est un revêtement non ramifié de degré $\frac{n!h^n}{|W|}$.*

La dernière propriété permet de définir, pour chaque $y \in Y - \mathcal{K}$, une action de Galois (ou action de monodromie) de $\pi_1(E_n^{\mathrm{reg}}, \mathrm{LL}(y))$ sur la fibre de $\mathrm{LL}(y)$. D'après les conventions de la partie 3.2, cela détermine une action du groupe de tresses B_n sur l'espace $Y - \mathcal{K}$: les orbites sont exactement les fibres de LL (car $Y - \mathcal{K}$ est connexe par arcs). Pour $\beta \in B_n$, on note $y \cdot \beta$ l'image de y par l'action de β.

Dans la partie suivante, on va construire pour chaque $y \in Y$ une factorisation de c ; on verra plus loin que l'action d'Hurwitz sur les factorisations (définition 0.2) est compatible avec l'action de Galois définie ici.

4. Factorisations géométriques

En adaptant [6, Part.6], on construit pour chaque $y \in Y$ une factorisation par blocs de c, dont la partition associée correspond à la distribution des multiplicités de la configuration $\mathrm{LL}(y)$.

4.1. **Tunnels.**

Soit $y \in Y$. Rappelons que L_y désigne la droite complexe $\{(y, x) \mid x \in \mathbb{C}\}$. Notons U_y le complémentaire dans L_y des demi-droites verticales situées au-dessous des points de $\mathrm{LL}(y)$, *i.e.* :

$$U_y := \{(y, z) \in L_y \mid \forall x \in \mathrm{LL}(y),\ \mathrm{re}(z) = \mathrm{re}(x) \Rightarrow \mathrm{im}(z) > \mathrm{im}(x)\}$$

La partie $\mathcal{U} := \bigcup_{y \in Y} U_y$ est un ouvert dense et contractile de $W \backslash V^{\mathrm{reg}}$ [6, Lemme 6.2]. On peut donc utiliser $\mathcal{U}$ comme « point-base » pour le groupe fondamental de $W \backslash V^{\mathrm{reg}}$. On définit ainsi le groupe de tresses de W :

$$B(W) := \pi_1(W \backslash V^{\mathrm{reg}}, \mathcal{U})$$

On rappelle ci-dessous [6, Def.6.5] :

Définition 4.1. Un *tunnel* est un triplet $T = (y, z, L)$ tel que $(z, y) \in \mathcal{U}$, $(z + L, y) \in \mathcal{U}$, et le segment $[(z, y), (z + L, y)]$ est contenu dans $W \backslash V^{\mathrm{reg}}$. On associe à T l'élément b_T du groupe de tresses $\pi_1(W \backslash V^{\mathrm{reg}}, \mathcal{U})$, représenté par le chemin horizontal $t \mapsto (z + tL, y)$.

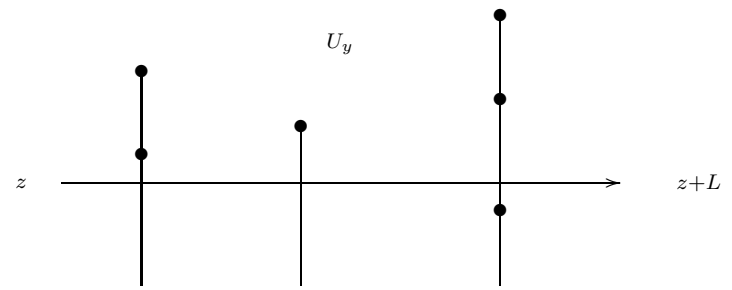

Soit $y \in Y$, et $(x_1, \ldots, x_k)$ le support du multi-ensemble $\mathrm{LL}(y)$, ordonné selon l'ordre lexicographique $\leq_{\mathrm{lex}}$. Notons $\mathrm{pr}_{\mathbb{C}}$ la projection de $W\backslash V \simeq Y \times \mathbb{C}$ sur la dernière coordonnée. Considérons l'espace $\mathrm{pr}_{\mathbb{C}}(L_y - U_y) - \{x_1, \ldots, x_k\}$. C'est une union disjointe d'intervalles ouverts, bornés ou non. Pour $j \in \{1, \ldots, k\}$, on note I_j l'intervalle situé sous x_j.

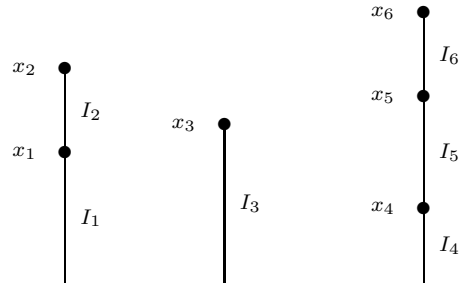

Pour chaque x_j, on choisit un tunnel T_j qui traverse I_j et pas les autres intervalles. On note $s_j := b_{T_j}$ l'élément de $B(W)$ associé.

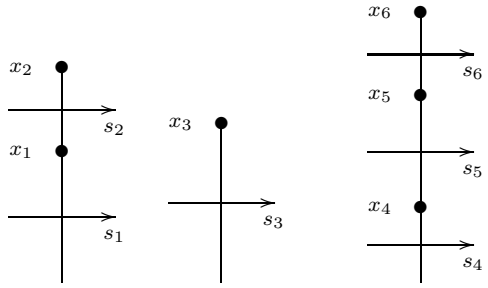

Dans [6, Def.6.7], le k-uplet $(s_1, \ldots, s_k)$ est appelé *label* de y et noté $\mathrm{lbl}(y)$. Ici on va associer à y un k-uplet légèrement différent, mieux adapté au problème.

4.2. **Factorisations géométriques.**

Définition 4.2. Soit $y \in Y$, $x_1, \ldots, x_k$ et $s_1, \ldots, s_k$ définis comme ci-dessus. On note $\mathrm{fact}_B(y)$ le k-uplet $(s'_1, \ldots, s'_k)$ d'éléments de $B(W)$ où :

$$s'_i = \begin{cases} s_i s_{i+1}^{-1} & \text{si } \mathrm{re}(x_{i+1}) = \mathrm{re}(x_i) \\ s_i & \text{sinon.} \end{cases}$$

On appelle *factorisation associée à* y, et on note $\mathrm{fact}(y)$, le k-uplet $(\pi(s'_1), \ldots, \pi(s'_k))$ d'éléments de W où $\pi : B(W) \twoheadrightarrow W$.

La raison de l'utilisation du terme « factorisation » sera clarifiée plus loin.

Remarque 4.3. L'application π est une projection naturelle $B(W) \overset{\pi}{\twoheadrightarrow} W$. Le revêtement $V^{\mathrm{reg}} \twoheadrightarrow W\backslash V^{\mathrm{reg}}$ permet en effet d'obtenir la suite exacte

$$1 \to P(W) = \pi_1(V^{\mathrm{reg}}) \to B(W) = \pi_1(W\backslash V^{\mathrm{reg}}) \overset{\pi}{\to} W \to 1.$$

Pour définir précisément π, on doit choisir une section $\widetilde{\mathcal{U}}$ du point-base $\mathcal{U}$ dans V^{reg}. Il y a $|W|$ choix possibles, qui donnent des morphismes conjugués (cf. [6, Rq.6.4]).

Géométriquement, s'_i est représenté par un chemin qui, vu depuis $\mathcal{U}$, passe sous x_i mais pas sous x_j pour $j \neq i$:

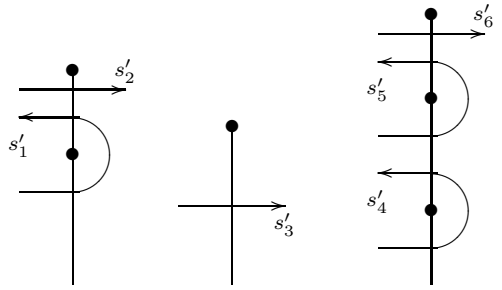

Remarque 4.4. Si $y \in Y - \mathcal{K}$, $\mathrm{fact}_B(y)$ est un n-uplet de « réflexions tressées » (terminologie de Broué, cf. [15]), et détermine des générateurs de la monodromie de $W\backslash V^{\mathrm{reg}} = \mathbb{C}^n - \mathcal{H}$. Plus précisément, par π_1-surjectivité de l'inclusion $L_y - L_y \cap \mathcal{H} \hookrightarrow \mathbb{C}^n - \mathcal{H}$ (cf. [4, Thm. 2.5]), les facteurs de $\mathrm{fact}_B(y)$ engendrent le groupe de tresses $B(W)$.

Dans le cas où le support de $\mathrm{LL}(y)$ est « générique » (parties réelles distinctes), les k-uplets $\mathrm{fact}_B(y)$ et $\mathrm{lbl}(y)$ coïncident. Dans le cas général, on peut toujours perturber y en un y' tel que $\mathrm{LL}(y') = e^{-i\theta}\,\mathrm{LL}(y)$, avec $\theta > 0$ assez petit pour que le support de $\mathrm{LL}(y')$ soit générique et que $\mathrm{fact}_B(y) = \mathrm{fact}_B(y') = \mathrm{lbl}(y')$. Les propriétés de lbl énoncées dans [6] s'adaptent ainsi aisément à l'application fact ; par la suite (4.6, 4.7, 5.1), on rappelle ces propriétés, en les reformulant dans ce nouveau cadre, et on ne démontre que ce qui change de façon non triviale.

Si $\mathrm{LL}(y) = \{0\}$ (avec multiplicité n), alors $y = 0$ (d'après le théorème 3.3). On note alors δ l'élément de $B(W)$ tel que $\mathrm{fact}_B(0) = (\delta)$. Il est représenté par l'image dans $W\backslash V^{\mathrm{reg}}$ du chemin dans V^{reg} :

$$\begin{array}{rcl} [0,1] & \longrightarrow & V^{\mathrm{reg}} \\ t & \longmapsto & v\exp(2i\pi t/h). \end{array}$$

où v est tel que pour $i = 1, \ldots, n-1$, $f_i(v) = 0$ (*i.e.* $v \in L_0$). Notons que δ est une racine h-ième du « tour complet » de $P(W)$ (« full-twist » noté $\boldsymbol{\pi}$ dans [15, Not.2.3]).

On pose $c = \pi(\delta)$, image de δ dans W. Par construction, c est $e^{2i\pi/h}$-régulier, donc est un élément de Coxeter. Les autres éléments de Coxeter de W (conjugués) sont obtenus pour d'autres choix du le morphisme π (cf. remarque 4.3).

Le lemme 6.14 dans [6] permet de comparer les tunnels lorsqu'on change de fibre L_y :

Lemme 4.5 (« Règle d'Hurwitz »). *Soit $T = (y, z, L)$ un tunnel, qui représente un élément $s \in B(W)$. Soit Ω un voisinage connexe par arcs de y, tel que pour tout $y' \in \Omega$, (y', z, L) soit encore un tunnel. Alors, pour tout $y' \in \Omega$, (y', z, L) représente s.*

On rassemble dans la proposition suivante quelques conséquences utiles de ce lemme, adaptées de [6, Lemmes 6.16, 6.17] :

Proposition 4.6. *Soit $y \in Y$, $(x_1, \dots, x_k)$ le support ordonné de* $\mathrm{LL}(y)$*, et* $(s_1, \dots, s_k) = \mathrm{fact}_B(y)$*. Alors :*

(i) $s_1 \dots s_k = \delta$ *et* $\pi(s_1) \dots \pi(s_k) = c$ *;*

(ii) pour tout i, la longueur de $\pi(s_i) \in W$ est la multiplicité de x_i dans $\mathrm{LL}(y)$*.*

Par conséquent, $\mathrm{fact}(y) \in \textsc{fact}(c)$*, et si* $y \in \mathrm{LL}^{-1}(E^0_\lambda)$*,* $\mathrm{fact}(y) \in \textsc{fact}_\lambda(c)$*.*

Une autre conséquence est la compatibilité des actions d'Hurwitz et de Galois :

Proposition 4.7 (d'après [6, Cor.6.18])**.** *Soit $y \in Y - \mathcal{K}$, et $\beta \in B_n$. Alors :*

$$\mathrm{fact}(y \cdot \beta) = \mathrm{fact}(y) \cdot \beta$$

où la première action est l'action de Galois définie en 3.3, et la seconde est l'action d'Hurwitz (cf. définition 0.2).

Démonstration : La preuve de [6, Cor.6.18] s'adapte au cas non générique (parties réelles non distinctes) sans difficultés. On verra plus loin (lemme 5.4) une généralisation de cette propriété de compatibilité à tous les éléments de Y. □

5. Etude de LL sur les strates E_λ

Ci-dessous on reformule [6, Thm. 7.9] en utilisant le produit fibré $E_n \times_{\mathrm{cp}(n)} \textsc{fact}(c)$, où $\mathrm{cp}(n)$ désigne l'ensemble des compositions de n. A toute configuration X de E_n on peut associer une composition de n, constituée des multiplicités des points du support de X pris dans l'ordre $\leq_{\mathrm{lex}}$ sur $\mathbb{C}$. D'autre part, toute factorisation de $\textsc{fact}(c)$ détermine une composition de n, en considérant les longueurs des facteurs dans l'ordre. Ces constructions définissent deux applications : $\mathrm{comp}_1 : E_n \to \mathrm{cp}(n)$ et $\mathrm{comp}_2 : \textsc{fact}(c) \to \mathrm{cp}(n)$. On pose :

$$E_n \times_{\mathrm{cp}(n)} \textsc{fact}(c) := \{(X, \xi) \in E_n \times \textsc{fact}(c) \mid \mathrm{comp}_1(X) = \mathrm{comp}_2(\xi)\}$$

Théorème 5.1 (d'après [6, Thm. 7.9])**.** *L'application* $\mathrm{LL} \times \mathrm{fact}$ *:*

$$\begin{array}{ccc} Y & \to & E_n \times_{\mathrm{cp}(n)} \textsc{fact}(c) \\ y & \mapsto & (\mathrm{LL}(y), \quad \mathrm{fact}(y)) \end{array}$$

est bijective.

Donnons ici les grandes lignes de la démonstration (détails dans [6, Part.7]). L'essentiel est de montrer la bijectivité de $\mathrm{LL} \times \mathrm{fact} : Y - \mathcal{K} \to \mathrm{Red}(c)$ (le reste se fait en dégénérant les points réguliers). Cela revient à prouver que, pour $y \in Y - \mathcal{K}$, le morphisme de B_n-ensembles

$$y \cdot B_n \xrightarrow{\mathrm{fact}} \mathrm{fact}(y) \cdot B_n$$

est un isomorphisme [6, Thm. 7.4]. Pour cela, on montre que $|\,\mathrm{fact}(y) \cdot B_n| = |y \cdot B_n| = \frac{n! h^n}{|W|}$ en utilisant les deux propriétés suivantes, prouvées au cas par cas [6, Prop.7.5] :

(i) l'action d'Hurwitz sur $\mathrm{Red}(c)$ est transitive ;

(ii) $|\operatorname{Red}(c)| = \frac{n!h^n}{|W|}$.

Posons maintenant $Y_\lambda := \mathrm{LL}^{-1}(E_\lambda)$, et $Y_\lambda^0 := \mathrm{LL}^{-1}(E_\lambda^0)$. Ainsi, Y_λ est un fermé de Zariski dans $Y \simeq \mathbb{C}^{n-1}$, et est l'adhérence de Y_λ^0. Pour tout $\lambda \vdash n$, $Y_\lambda = \bigsqcup_{\mu \leq \lambda} Y_\mu^0$. En particulier, $Y = \bigsqcup_{\mu \vdash n} Y_\mu^0$.

Théorème 5.2. *Pour tout $\lambda \vdash n$, la restriction de* LL *:*

$$\mathrm{LL}_\lambda : Y_\lambda^0 \twoheadrightarrow E_\lambda^0$$

est un revêtement non ramifié.

Remarque 5.3. La définition de « revêtement » est bien sûr à prendre ici au sens large : comme Y_λ^0 n'est pas nécessairement connexe par arcs, le théorème signifie que l'application LL_λ est un revêtement connexe par arcs sur chacune des composantes connexes par arcs de Y_λ^0.

Démonstration : Soit $X_0 \in E_\lambda^0$. Supposons dans un premier temps que les parties réelles des éléments du support de X_0 sont distinctes (on dira que X_0 est relativement générique). Soit Ω un ouvert connexe par arcs de E_λ^0, contenant X_0, et de diamètre assez petit pour que tous les éléments de X_0 soient relativement génériques.

Soit $\mu = \mathrm{comp}_1(X_0)$ la composition de n associée à X_0. Il est clair que pour tout $X \in \Omega$, la composition associée à X est encore μ. Posons $F_\mu := \textsc{fact}_\mu(c) = \{\xi \in \textsc{fact}(c) \mid \mathrm{comp}_2(\xi) = \mu\}$. Le théorème 5.1 implique que l'application

$$\mathrm{LL}_\lambda^{-1}(\Omega) \xrightarrow{\mathrm{LL}_\lambda \times \mathrm{fact}} \Omega \times F_\mu$$

est une bijection.

Si X_0 n'est pas relativement générique, on peut refaire toutes les constructions précédentes en tournant légèrement la direction de la verticale dans le sens trigonométrique direct. On doit modifier alors la définition de l'application fact (sauf pour les y de la fibre de X_0), mais les factorisations construites restent toujours dans $\textsc{fact}_\mu(c)$ pour $\mu = \mathrm{comp}_1(X_0)$.

Pour conclure, il suffit de remarquer que toutes les fibres F_μ construites sont en bijection. En effet, les compositions μ associées aux éléments de Y_λ^0 correspondent nécessairement à la partition λ, et si deux compositions μ et μ' sont égales à permutation des parts près, alors $\textsc{fact}_\mu(c)$ et $\textsc{fact}_{\mu'}(c)$ sont en bijection (utiliser l'action d'Hurwitz par une tresse adaptée). □

Soit λ une partition de n, et $X, X' \in E_\lambda^0$. On a vu en partie 3.2 que toute classe d'homotopie de chemin de X vers X' dans E_λ^0 définit un élément de B_p où $p = \#\lambda$. On en déduit en particulier une action de Galois de B_p sur chacune des fibres de LL au-dessus de E_λ^0, et on a une propriété de compatibilité des actions plus générale :

Lemme 5.4 (Compatibilité des actions de Galois et d'Hurwitz sur les strates)**.** *Soit $\lambda \vdash n$, avec $p = \#\lambda$.*

(i) Soient $y, y' \in Y^0_\lambda$, reliés par un chemin γ dans Y^0_λ. Notons $X = \mathrm{LL}(y)$, $X' = \mathrm{LL}(y')$, et β la tresse de B_p représentée par l'image de γ par LL. *Alors :* $\mathrm{fact}(y') = \mathrm{fact}(y) \cdot \beta$.

(ii) Soient $\beta \in B_p$, et $y, y' \in Y^0_\lambda$ tels que $\mathrm{fact}(y') = \mathrm{fact}(y) \cdot \beta$. Notons $X = \mathrm{LL}(y)$, $X' = \mathrm{LL}(y')$ et $\widetilde{\beta}$ l'unique relevé (par LL*) d'origine y de la tresse β vue comme classe de chemin (dans E^0_λ) de X vers X'. Alors y' est le point d'arrivée de $\widetilde{\beta}$.*

Démonstration : (i) C'est essentiellement la même preuve que pour [6, Cor.6.18]. Il suffit de considérer le cas $\beta = \boldsymbol{\sigma_i}$ (i-ème tresse élémentaire de B_p), pour $i \in \{1, \ldots, p-1\}$. En vertu du théorème 5.2, on peut déplacer X, X' (sans changer l'ordre des points des configurations), et y, y' (sans modifier $\mathrm{fact}(y)$ et $\mathrm{fact}(y')$), de sorte que la tresse $\boldsymbol{\sigma_i}$ soit représentée par le chemin suivant (en pointillés) :

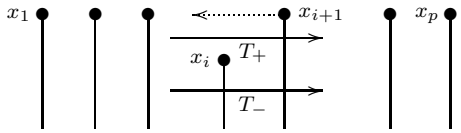

Considérons les tunnels T_+ et T_- représentés sur le schéma. Notons $(w_1, \ldots, w_p) = \mathrm{fact}(y)$ et $(w'_1, \ldots, w'_p) = \mathrm{fact}(y')$. Alors T_+ représente w_{i+1} dans L_y, et w'_i dans $L_{y'}$. D'où, d'après le lemme 4.5, $w'_i = w_{i+1}$. De même, avec T_-, on obtient $w'_i w'_{i+1} = w_i w_{i+1}$, et on a vérifié que $\mathrm{fact}(y') = \mathrm{fact}(y) \cdot \boldsymbol{\sigma_i}$.

(ii) On reprend les notations de l'énoncé. Notons y'' le point d'arrivée de β. Alors, d'une part on a $\mathrm{LL}(y'') = X' = \mathrm{LL}(y)$. D'autre part, en appliquant le point (i) à y, y', et $\widetilde{\beta}$, on obtient : $\mathrm{fact}(y'') = \mathrm{fact}(y) \cdot \beta = \mathrm{fact}(y')$. D'où, par le théorème 5.1, $y'' = y'$. □

Le théorème suivant est une conséquence directe du lemme :

Théorème 5.5. *Soit $\lambda \vdash n$, et $p = \#\lambda$. L'application $Y^0_\lambda \xrightarrow{\mathrm{fact}} \mathrm{FACT}_\lambda(c)$ induit une bijection entre l'ensemble des composantes connexes par arcs de Y^0_λ et l'ensemble des orbites d'Hurwitz de $\mathrm{FACT}_\lambda(c)$ sous B_p.*

Autrement dit, si $Y^0_\lambda = \bigsqcup_i Y^0_{\lambda,i}$ est la décomposition de Y^0_λ en ses composantes connexes par arcs, alors

$$\mathrm{FACT}_\lambda(c) = \mathrm{fact}(Y^0_\lambda) = \bigsqcup_i \mathrm{fact}(Y^0_{\lambda,i})$$

est la décomposition de $\mathrm{FACT}_\lambda(c)$ en orbites d'Hurwitz sous B_p.

6. Stratification de $\mathcal{H}$ et éléments de Coxeter paraboliques

Dans cette partie on étudie la géométrie de $\mathcal{H}$, afin de pouvoir déterminer en partie 7 les composantes connexes par arcs de Y^0_λ lorsque λ est une partition primitive, en appliquant le théorème 5.5 ci-dessus.

On rappelle qu'on a fixé un élément de Coxeter $c = \pi(\delta)$.

6.1. **Stratification de V.**

L'arrangement d'hyperplans associé à W est noté $\mathcal{A}$. On considère la stratification de W par les *plats*, *i.e.* le treillis d'intersection :

$$\mathcal{L} := \mathcal{L}(\mathcal{A}) = \left\{ \bigcap_{H \in \mathcal{B}} H \mid \mathcal{B} \subseteq \mathcal{A} \right\}.$$

Pour $L \in \mathcal{L}$, on pose

$$L^0 := L - \bigcup_{L' \in \mathcal{L}, L' \subsetneq L} L'.$$

On obtient la stratification ouverte de V associée à $\mathcal{L}$. Pour tout $L \in \mathcal{L}$, L est l'adhérence de L^0.

La stratification de V par les plats correspond à la stratification du groupe W par ses sous-groupes paraboliques : on rappelle le théorème de Steinberg [29, Thm. 1.5] et ses conséquences.

Théorème 6.1 (Steinberg)**.** *Si L est un plat, le groupe*

$$W_L := \{w \in W \mid \forall x \in L, wx = x\}$$

est encore un groupe de réflexions, appelé sous-groupe parabolique associé à L. De plus :

(i) L'application $L \mapsto W_L$ est une bijection de $\mathcal{L}$ vers l'ensemble des sous-groupes paraboliques ; sa réciproque est

$$G \mapsto V^G = \{x \in V \mid \forall w \in G, wx = x\} = \bigcap_{r \in \mathcal{R} \cap G} H_r \ .$$

(ii) Le rang de W_L est égal à la codimension de L.

(iii) Soit $v \in V$. Notons $V_v := \bigcap_{H \in \mathcal{A}, v \in H} H$ et $W_v := \{w \in W \mid wv = v\}$.

Alors, pour $L \in \mathcal{L}$:

$$v \in L^0 \Leftrightarrow V_v = L \Leftrightarrow W_v = W_L.$$

6.2. **Éléments de Coxeter paraboliques.**

Notons $f : \mathcal{H} \to \mathrm{NCP}_W(c)$ l'application qui à $(y, x) \in \mathcal{H}$ associe le facteur de $\mathrm{fact}(y)$ correspondant à x (*i.e.* défini par un tunnel élémentaire passant sous le point x de $\mathrm{LL}(y)$). Ainsi, $(f(y, x_1), \ldots, f(y, x_p)) = \mathrm{fact}(y)$ lorsque le support ordonné de $\mathrm{LL}(y)$ est $(x_1, \ldots, x_p)$.

On reformule ci-dessous un lemme fondamental de [6] :

Lemme 6.2 (d'après [6, Lemme 7.3])**.** *Soit $y \in Y$. Soient $x \in \mathrm{LL}(y)$, de multiplicité p, et $w = f(y, x)$.*

Alors il existe une préimage $v \in V$ de $(y, x) \in W \backslash V$ telle que w soit un élément de Coxeter dans le sous-groupe parabolique W_v. De plus :

$$p = \ell(w) = \mathrm{rg}\, W_v = \dim V/V_v = \mathrm{codim}\, \mathrm{Ker}(w - 1).$$

Par conséquent, en utilisant la surjectivité de l'application fact, on peut déduire de ce lemme que tout diviseur w de c est un élément de Coxeter d'un sous-groupe parabolique, groupe que l'on peut déterminer à l'aide d'une factorisation qui contient w. D'où la proposition-définition suivante :

Proposition 6.3. *Soit W un groupe de réflexions complexe bien engendré, et $w \in W$. Les propriétés suivantes sont équivalentes :*

(i) w est un élément de Coxeter d'un sous-groupe parabolique de W ;

(ii) il existe un élément de Coxeter c_w de W, tel que $w \preccurlyeq c_w$;

(iii) w est conjugué à un élément de $\mathrm{NCP}_W(c)$.

On dit alors que w est un élément de Coxeter parabolique.

Remarque 6.4. Dans le cas d'un groupe de Coxeter fini, cette propriété est bien connue et démontrée de manière uniforme, cf. [5, Lemme 1.4.3].

Démonstration : (ii) $\Leftrightarrow$ (iii) provient directement de la théorie de Springer (les éléments de Coxeter de W forment une seule classe de conjugaison) et de la propriété $\mathrm{NCP}_W(aca^{-1}) = a\,\mathrm{NCP}_W(c)a^{-1}$.

(i) $\Rightarrow$ (ii) : soit G un sous-groupe parabolique (non trivial), et w un élément de Coxeter de G. Soit $L = V^G$ et $v \in L^0$, de sorte que $W_v = G$. Notons $(y, x) = \bar{v}$ et $w_0 = f(y, x) \in \mathrm{NCP}_W(c)$. D'après le lemme 6.2, il existe $v_0 \in V$ tel que $(y, x) = \overline{v_0}$ et que w_0 soit un élément de Coxeter de W_{v_0}. Comme v_0 et v sont dans la même orbite sous W, $G = W_v$ est conjugué à W_{v_0}, donc tous leurs éléments de Coxeter sont conjugués dans W. En particulier w est conjugué à w_0.

(iii) $\Rightarrow$ (i) : il suffit de montrer l'implication pour $w \in \mathrm{NCP}_W(c)$, puisque la propriété (i) est invariante par conjugaison. Si $w \preccurlyeq c$, la surjectivité de fact (théorème 5.1) donne l'existence de $(y, x) \in W\backslash V$ tel que $f(y, x) = w$. Le lemme 6.2 permet alors de conclure. □

Comme dans le cas d'un groupe de Coxeter [5, Cor.1.6.2], on peut retrouver, à partir d'un élément de Coxeter parabolique, le sous-groupe parabolique associé :

Proposition 6.5. *Soit w un élément de Coxeter parabolique, et W_w le sous-groupe parabolique fixateur du plat* $\mathrm{Ker}(w - 1)$. *Alors :*

(i) le groupe W_w est l'unique sous-groupe parabolique duquel w est un élément de Coxeter ;

(ii) si $(r_1, \ldots, r_k) \in \mathrm{Red}(w)$, alors $\langle r_1, \ldots, r_k\rangle = W_w$.

Démonstration : (i) Soit G un sous-groupe parabolique tel que w soit un élément de Coxeter de G. Soit L le plat associé à G, *i.e.* $L = V^G$. Alors comme $w \in G$, on a : $L \subseteq \mathrm{Ker}(w - 1)$. Or $\operatorname{codim} L = \operatorname{rg} G$ par théorème 6.1, et $\operatorname{rg} G = \ell_G(w)$ (où ℓ_G désigne la longueur relativement aux réflexions de G) car w est un élément de Coxeter. D'autre part $\ell(w) = \operatorname{codim} \mathrm{Ker}(w - 1)$ par la proposition 1.3. Donc pour conclure il suffit d'utiliser le résultat suivant :

Si G est un sous-groupe parabolique, alors : $\forall g \in \mathrm{NCP}_W,\ g \in G \Rightarrow \ell_G(g) = \ell(g)$.

Pour cela, on va vérifier que pour $r \in \mathcal{R}$, si $r \preccurlyeq g$, alors $r \in G$. Si $G = W_L$, cela revient à montrer que $L \subseteq \mathrm{Ker}(r-1)$. Or, comme $g \in G$, on a $L \subseteq \mathrm{Ker}(g-1)$, et d'après la proposition 1.5, $\mathrm{Ker}(g-1) \subseteq \mathrm{Ker}(r-1)$.

(ii) Il suffit de le démontrer dans le cas où w est un élément de Coxeter c d'un groupe de réflexions (bien engendré) irréductible W. D'après le théorème 5.1, toute décomposition réduite $(r_1, \ldots, r_n)$ de c provient d'une factorisation de δ en générateurs de la monodromie, *i.e.* de $\mathrm{fact}_B(y) = (s_1, \ldots, s_n)$, avec $y \in Y - \mathcal{K}$ et $\pi(s_i) = r_i$. Or on sait qu'alors $s_1, \ldots, s_n$ engendrent $B(W)$ (cf. remarque 4.4), donc $r_1, \ldots, r_n$ engendrent W. □

Dans le cas présent, on a fixé un élément de Coxeter c de W, et on ne va considérer que les éléments paraboliques qui sont dans NCP_W. On n'obtient donc pas tous les sous-groupes paraboliques, mais seulement les *sous-groupes paraboliques « non croisés »*, *i.e.* ceux qui possèdent un élément de Coxeter qui divise c. Cependant d'après la proposition 6.5, quitte à les conjuguer, on obtient tous les sous-groupes paraboliques :

Proposition 6.6. *Soit W un groupe de réflexions complexe bien engendré, et c un élément de Coxeter fixé de W. Soit W_0 un sous-groupe parabolique de W.*

Alors W_0 est conjugué à un sous-groupe parabolique « non croisé » de W, i.e. *un sous-groupe de la forme W_L où $L = \mathrm{Ker}(w-1)$ et $w \preccurlyeq c$.*

Ce un résultat non trivial utilise ainsi de façon essentielle le lemme 6.2. On peut dire que les sous-groupes paraboliques non croisés jouent ici le rôle des sous-diagrammes (ou des paraboliques standards) de la théorie de Coxeter (voir aussi [14, p.3] sur les diagrammes et sous-diagrammes pour les groupes complexes).

Remarque 6.7. Dans un sous-groupe parabolique non croisé, il y a unicité de l'élément de Coxeter divisant c. En effet, il faut trouver un diviseur de c dont le plat associé est donné, et la solution est unique par le théorème de Brady-Watt (1.6). L'ensemble des sous-groupes paraboliques non croisés, ordonné par inclusion, est donc isomorphe au treillis $(\mathrm{NCP}_W(c), \preccurlyeq)$.

6.3. **Stratification de $W\backslash V$.**

Le groupe W agit sur $\mathcal{A}$, donc sur $\mathcal{L}$. On peut ainsi définir des orbites de plats, qui forment une stratification notée $\bar{\mathcal{L}}$ de $W\backslash V$.

Soit p la projection $V \to W\backslash V$, $v \mapsto \bar{v} = W \cdot v$. On a : $\bar{\mathcal{L}} = W\backslash\mathcal{L} = (p(L))_{L\in\mathcal{L}} = (W \cdot L)_{L\in\mathcal{L}}$.

On notera par la suite les strates de $\bar{\mathcal{L}}$ par la lettre Λ. Pour $\Lambda \in \bar{\mathcal{L}}$, posons :

$$\Lambda^0 := \Lambda - \bigcup_{\Lambda' \in \bar{\mathcal{L}}, \Lambda' \subsetneq \Lambda} \Lambda'$$

Si $\Lambda = W \cdot L$, alors $\Lambda^0 = W \cdot L^0$. Les ouverts Λ^0, pour $\Lambda \in \bar{\mathcal{L}}$, forment la stratification ouverte de $W\backslash V$ associée à $\bar{\mathcal{L}}$, appelée *stratification discriminante*. Notons que $(W\backslash V)^0 = W\backslash V - \mathcal{H} = W\backslash V^{\mathrm{reg}}$.

Les strates de $\bar{\mathcal{L}}$ correspondent aux classes de conjugaison de sous-groupes paraboliques, puisque $W_{w\cdot L} = wW_Lw^{-1}$. On peut également les associer aux classes de conjugaison

d'éléments de Coxeter paraboliques. En effet, considérons l'application $F : W \to \mathcal{L}$, $w \mapsto \mathrm{Ker}(w-1)$. Si w et w' sont conjugués, alors $F(w)$ et $F(w')$ sont dans la même orbite sous W, donc F induit une application $\bar{F}$ de l'ensemble des classes de conjugaison de W vers $\bar{\mathcal{L}}$.

Proposition 6.8. *L'application $\bar{F}$ définie ci-dessus induit une bijection entre l'ensemble $\bar{\mathcal{L}}$ des strates de $W\backslash V$ et :*
- *l'ensemble des classes de conjugaison d'éléments de Coxeter paraboliques ;*
- *l'ensemble des classes de conjugaison d'éléments de* NCP_W.

Démonstration : En utilisant les propositions 6.3 et 6.5, le premier point est clair : deux éléments de Coxeter d'un même sous-groupe parabolique sont conjugués d'après la théorie de Springer, donc deux éléments de Coxeter paraboliques w_1 et w_2, associés à deux sous-groupes paraboliques W_1 et W_2, sont conjugués si et seulement si les groupes W_1 et W_2 sont conjugués.

Le second point est direct en utilisant la proposition 6.3. □

Définition 6.9. Soit Λ une strate de $\bar{\mathcal{L}}$, $w \in \mathrm{NCP}_W$, et $\bar{v} \in W\backslash V$. On dit que :
- « w est de *type* Λ » si la classe de conjugaison de w correspond à Λ par la bijection ci-dessus, *i.e.* si $\Lambda = W \cdot \mathrm{Ker}(w-1)$.
- « la *strate* de $\bar{v}$ est Λ » si Λ est la strate *minimale* de $\bar{\mathcal{L}}$ contenant $\bar{v}$, *i.e.* si $\bar{v} \in \Lambda^0$, ou encore $\Lambda = W \cdot V_v$.

On peut ainsi reformuler le lemme 6.2 :

Lemme 6.10. *Soit $(y,x) \in \mathcal{H}$. Alors le type de l'élément de Coxeter parabolique $f(y,x)$ est la strate du point (y,x).*

Une conséquence du lemme est que si (y,x) est dans une strate ouverte de dimension $n-k$, alors $\ell(f(y,x)) = k$ et la multiplicité de x dans $\mathrm{LL}(y)$ est k. Soit $\bar{\mathcal{L}}_k$ l'ensemble des strates fermées de dimension exactement $n-k$, et posons :

$$\mathcal{H}_k := \bigcup_{\Lambda \in \bar{\mathcal{L}}_k} \Lambda$$

Ainsi $W\backslash V = \mathcal{H}_0 \supsetneq \mathcal{H}_1 = \mathcal{H} \supsetneq \mathcal{H}_2 \supsetneq \cdots \supsetneq \mathcal{H}_n = \{0\}$.

Désormais on suppose $k \geq 1$. Soit la projection $\varphi : \mathcal{H} \to Y$, $(y,x) \mapsto y$. Notons $Y_k := \varphi(\mathcal{H}_k)$, et $\alpha_k := k^1 1^{n-k} \vdash n$. D'après le lemme 6.2, pour $(y,x) \in \mathcal{H}$, la longueur du facteur $f(y,x)$ est donnée par la codimension de la strate de (y,x), d'où la propriété suivante :

Lemme 6.11. *Soit $(y,x) \in W\backslash V$. Alors (y,x) est dans $\mathcal{H}_k$ si et seulement si la multiplicité de x dans $\mathrm{LL}(y)$ est supérieur ou égale à k.*

Par conséquent : $Y_k = \mathrm{LL}^{-1}(E_{\alpha_k})$.

La partie Y_k est donc ce que l'on avait noté Y_λ dans la partie 5, dans le cas où λ est la partition primitive α_k. En particulier, comme $\mathcal{K} = \mathrm{LL}^{-1}(E_{\alpha_2})$, on obtient $Y_2 = \mathcal{K}$.

7. Composantes connexes par arcs de Y_k^0

D'après le théorème 5.5, pour étudier les orbites d'Hurwitz primitives, il est intéressant d'identifier les composantes connexes par arcs de Y_k^0. Pour cela, on commence par déterminer les composantes irréductibles de Y_k.

7.1. Composantes irréductibles de $\mathcal{H}_k$ et de Y_k.

On va d'abord montrer que les strates de $\bar{\mathcal{L}}_k$ sont les composantes irréductibles de $\mathcal{H}_k$.

Lemme 7.1. *Les morphismes $p : V \twoheadrightarrow W\backslash V$ et $\varphi : \mathcal{H} \to Y$ sont finis. Par conséquent ils sont fermés, pour la topologie de Zariski.*

Démonstration : Pour p, c'est le théorème de Chevalley : $\mathcal{O}_V \simeq \mathbb{C}[v_1, \ldots, v_n]$, $\mathcal{O}_{W\backslash V} \simeq \mathbb{C}[f_1, \ldots, f_n]$, et $\mathcal{O}_V$ est un $\mathcal{O}_{W\backslash V}$-module libre de rang $|W|$.

Pour φ, on a $\mathcal{O}_Y = \mathbb{C}[f_1, \ldots, f_n]$ et $\mathcal{O}_{\mathcal{H}} = \mathbb{C}[f_1, \ldots, f_n]/(\Delta)$, avec $\Delta = f_n^n + a_2 f_n^{n-2} + \cdots + a_n$ et $a_i \in \mathbb{C}[f_1, \ldots, f_{n-1}]$. En particulier, f_n est entier sur $\varphi^*(\mathcal{O}_Y)$. Donc φ^* fait de $\mathcal{O}_{\mathcal{H}}$ un $\mathcal{O}_Y$-module libre de rang n. □

Par conséquent, les strates de $\bar{\mathcal{L}}$, images par p des plats dans V, sont fermées, et irréductibles (car l'image d'un irréductible par un morphisme algébrique est irréductible). D'où :

Corollaire 7.2. *Pour tout $k \geq 1$, les composantes irréductibles du fermé $\mathcal{H}_k$ sont les strates Λ de $\bar{\mathcal{L}}_k$.*

Par φ, continue et fermée, on peut envoyer ces strates dans $Y_k = \varphi(\mathcal{H}_k)$. On a ainsi $Y_k = \bigcup_{\Lambda \in \bar{\mathcal{L}}_k} \varphi(\Lambda)$, avec les $\varphi(\Lambda)$ fermés irréductibles dans Y.

Commençons par le cas $k = 1$, qui correspond aux classes de conjugaison de réflexions de NCP_W. En utilisant le théorème 5.1, on obtient le résultat suivant.

Proposition 7.3. *Soit $\Lambda \in \bar{\mathcal{L}}_1$. Alors, pour tout $y \in Y - \mathcal{K}$, au moins un des facteurs de* $\mathrm{fact}(y)$ *a pour classe de conjugaison Λ.*

Par conséquent, pour tout $\Lambda \in \bar{\mathcal{L}}_1$, on a : $\varphi(\Lambda) = Y$.

Démonstration : D'après la surjectivité de l'application fact, toute réflexion de NCP_W apparaît dans une factorisation $\mathrm{fact}(y)$. Donc, par transitivité de l'action d'Hurwitz sur $\mathrm{Red}(c)$, si $\xi \in \mathrm{fact}(Y - \mathcal{K})$, alors toutes les classes de conjugaison de réflexions de NCP_W apparaissent dans ξ. En effet, l'ensemble des classes de conjugaison de réflexions faisant partie d'une décomposition réduite est invariant par l'action d'Hurwitz.

Soit $y \in Y$. Quitte à désingulariser, on peut trouver $y' \in Y - \mathcal{K}$ tel que $\mathrm{fact}(y')$ soit un raffinement de $\mathrm{fact}(y)$. Soit $\Lambda \in \bar{\mathcal{L}}_1$, alors $\mathrm{fact}(y')$ contient un facteur de type Λ, donc il existe x dans $\mathrm{LL}(y)$ tel que $f(y, x)$ soit multiple (pour $\preccurlyeq$) d'une réflexion de type Λ, d'où $(y, x) \in \Lambda$, et $y \in \varphi(\Lambda)$. □

Désormais on suppose $k \geq 2$.

Proposition 7.4. *Les $\varphi(\Lambda)$, pour $\Lambda \in \bar{\mathcal{L}}_k$, sont distincts deux à deux, et sont les composantes irréductibles de Y_k.*

Démonstration : D'après la discussion précédente, il suffit de montrer que si $\Lambda, \Lambda' \in \bar{\mathcal{L}}_k$, avec $\Lambda \neq \Lambda'$, alors $\varphi(\Lambda) \nsubseteq \varphi(\Lambda')$.

La strate ouverte Λ^0 correspond à une classe de conjugaison de sous-groupe parabolique de rang k. Soit c_Λ un élément de Coxeter parabolique, divisant c, de type Λ. Complétons avec $n-k$ réflexions pour obtenir une factorisation complète : $\xi = (c_\Lambda, s_{k+1}, \ldots, s_n)$. Alors, par 5.1, il existe y dans Y, tel que $\mathrm{fact}(y) = \xi$, et que $\mathrm{LL}(y)$ ait $n-k+1$ points distincts. Soit x le point multiple dans $\mathrm{LL}(y)$; alors $(y, x) \in \Lambda^0$ puisque l'élément de Coxeter parabolique associé à x est de type Λ. D'où : $y \in \varphi(\Lambda)$.

Supposons que $y \in \varphi(\Lambda')$; alors il existe x' tel que $(y, x') \in \Lambda'$. Donc, dans $\mathrm{fact}(y) = \xi$, on doit trouver un élément de type $\Lambda'' \subseteq \Lambda'$, de longueur supérieure ou égale à k ; or, dans $\mathrm{fact}(y)$, seul c_Λ convient, et il est de type $\Lambda \nsubseteq \Lambda'$. D'où $y \notin \varphi(\Lambda')$, ce qui conclut la preuve. □

7.2. **Connexité par arcs.**

Notons comme plus haut $Y_k^0 := \mathrm{LL}^{-1}(E_{\alpha_k}^0)$, et pour $\Lambda \in \bar{\mathcal{L}}_k$, $\varphi(\Lambda)^0 := \varphi(\Lambda) \cap Y_k^0$.

Pour $\Lambda \in \bar{\mathcal{L}}_k$, notons $\mathrm{FACT}_{\alpha_k}^\Lambda(c)$ les factorisations primitives de c, de forme α_k, et dont l'élément long est de type Λ. Alors, en vertu du lemme 6.10, on a :

$$\varphi(\Lambda)^0 = \mathrm{fact}^{-1}(\mathrm{FACT}_{\alpha_k}^\Lambda(c)).$$

Ainsi $Y_k^0 = \bigsqcup_{\Lambda \in \bar{\mathcal{L}}_k} \varphi(\Lambda)^0$. D'après la surjectivité de fact, $\varphi(\Lambda)^0$ est un ouvert (de Zariski) non vide de $\varphi(\Lambda)$.

Proposition 7.5. *Pour tout $\Lambda \in \bar{\mathcal{L}}_k$, $\varphi(\Lambda)^0$ est connexe par arcs.*

Démonstration : C'est un fait général, mais non trivial, que tout ouvert de Zariski d'une variété algébrique complexe irréductible est connexe par arcs. Dans le cas présent on peut cependant donner une démonstration explicite. Soit $\Lambda \in \bar{\mathcal{L}}_k$, et soit $L \in \mathcal{L}$ tel que $p(L) = \Lambda$. Notons $\Omega = L \cap (\varphi \circ p)^{-1}(\varphi(\Lambda)^0)$. Comme $p : V \to W\backslash V$ et $\varphi : W\backslash V \to Y$ sont des morphismes algébriques, Ω est un ouvert de Zariski de L. Comme L est un espace vectoriel sur $\mathbb{C}$, la connexité par arcs de Ω est alors évidente. D'autre part, $\varphi(\Lambda)^0 = \varphi \circ p(\Omega)$, avec $\varphi \circ p$ continue, donc $\varphi(\Lambda)^0$ est connexe par arcs. □

En utilisant le théorème 5.5, on va en déduire aisément que les $\varphi(\Lambda)^0$, pour $\Lambda \in \bar{\mathcal{L}}_k$, sont bien les composantes connexes par arcs de Y_k^0.

8. Forte conjugaison, et cas des réflexions

Théorème 8.1. *Soit $k \in \{2, \ldots, n\}$. Alors :*

- *les parties $\varphi(\Lambda)^0$, pour $\Lambda \in \bar{\mathcal{L}}_k$, sont les composantes connexes par arcs de Y_k^0 ;*
- *les ensembles $\mathrm{fact}(\varphi(\Lambda)^0) = \mathrm{FACT}_{\alpha_k}^\Lambda(c)$ sont les orbites d'Hurwitz sous B_{n-k+1} de $\mathrm{fact}(Y_k^0) = \mathrm{FACT}_{\alpha_k}(c)$.*

Par conséquent, deux éléments de NCP_W de longueur k sont fortement conjugués si et seulement s'ils sont conjugués.

Démonstration : Soient $y \in \varphi(\Lambda)^0$ et $y' \in \varphi(\Lambda')^0$, avec $\Lambda, \Lambda' \in \bar{\mathcal{L}}_k$. Si y et y' sont reliés par un chemin dans Y_k^0, alors, par le théorème 5.5, $\mathrm{fact}(y)$ et $\mathrm{fact}(y')$ sont dans la même

orbite d'Hurwitz, donc leurs éléments longs sont conjugués, *i.e.* $\Lambda = \Lambda'$ (par lemme 6.10). Donc la proposition 7.5 implique que les $\varphi(\Lambda)^0$ sont les composantes connexes par arcs de Y_k^0. Les orbites d'Hurwitz de $\mathrm{fact}(Y_k^0)$ sont alors directement données par le théorème 5.5.

Enfin, la propriété de forte conjugaison vient du fait qu'une factorisation de forme α_k est dans $\mathrm{fact}(\varphi(\Lambda)^0)$ si et seulement si son facteur long est de type Λ. □

Pour conclure la preuve du théorème 2.5, il reste à déterminer les classes de conjugaison forte de réflexions :

Théorème 8.2. *Soient r, r' deux réflexions de NCP_W. Si r et r' sont conjuguées, alors r et r' sont fortement conjuguées dans NCP_W.*

Remarque 8.3. Cette propriété apporte une précision intéressante concernant l'action d'Hurwitz de B_n sur $\mathrm{Red}(c)$: si $r_1, r_1' \in \mathrm{NCP}_W$ sont deux réflexions conjuguées, et si $(r_1, r_2, \ldots, r_n)$ et $(r_1', r_2', \ldots, r_n')$ sont deux décompositions réduites de c, alors il existe une tresse de B_n, *pure par rapport au premier brin*, qui transforme l'une en l'autre (cf. remarque 2.4 sur le lien entre forte conjugaison et action d'Hurwitz).

Démonstration : Considérons $\varphi : \mathcal{H} \to Y$, $(y, x) \mapsto y$. Notons $\mathcal{H}' := \varphi^{-1}(Y - \mathcal{K})$. Alors la restriction $\varphi' : \mathcal{H}' \to Y - \mathcal{K}$ est un revêtement non ramifié à n feuillets (continuité des racines d'un polynôme à racines simples).

Soient r, r' deux réflexions de NCP_W conjuguées. Par surjectivité de fact, il existe $y, y' \in Y - \mathcal{K}$, tels que $\mathrm{fact}(y) = (r, r_2, \ldots, r_n)$ et $\mathrm{fact}(y') = (r', r_2', \ldots, r_n')$. On peut supposer que $\mathrm{LL}(y) = \mathrm{LL}(y')$; soit x leur élément minimal pour $\leq_{\mathrm{lex}}$ (correspondant à r et r'). Soit Λ la strate de $\bar{\mathcal{L}}_1$ correspondant à la classe de conjugaison de r et r'. D'après le lemme 6.10, (y, x) et (y', x) sont dans Λ^0. Plus précisément, (y, x) et (y', x) sont dans $\Lambda \cap \mathcal{H}'$, que l'on va noter Λ'.

Notons que Λ' est un ouvert de Zariski de Λ, donc est connexe par arcs, par le même argument que pour la proposition 7.5. Par conséquent, on peut relier (y, x) et (y', x) par un chemin γ dans $\mathcal{H}'$. Celui-ci se projette en un chemin dans $Y - \mathcal{K}$, et détermine via LL un lacet dans E_n^{reg}. Ce lacet représente une tresse β qui, par construction, stabilise le premier brin (x). Ainsi $y' = y \cdot \beta$ par l'action de monodromie, et $\mathrm{fact}(y') = \mathrm{fact}(y) \cdot \beta$ par l'action d'Hurwitz. Comme β stabilise le brin (x), on en déduit que r et r' sont fortement conjugués, en vertu de la remarque 2.4. □

Références

[1] D. Armstrong, *Generalized noncrossing partitions and combinatorics of Coxeter groups*, Thesis (2006), Mem. Amer. Math. Soc. **202** (2009), no. 949.

[2] V. I. Arnold, *Critical points of functions and the classification of caustics*, Russian Math. Surveys **29** (1974), 243–244.

[3] Ch. Athanasiadis, V. Reiner, *Noncrossing partitions for the group D_n*, SIAM J. Discrete Math. **18** (2004), 397–417.

[4] D. Bessis, *Zariski theorems and diagrams for braid groups*, Invent. Math. **145** (2001), 487–507.

[5] ———, *The dual braid monoid*, Ann. Sci. Éc. Norm. Supér. (4) **36** (2003), 647–683.

[6] ———, *Finite complex reflection arrangements are $K(\pi, 1)$*, arXiv preprint `math.GT/0610777`.

[7] D. Bessis, R. Corran, *Non-crossing partitions of type (e, e, r)*, Adv. Math. **202** (2006), 1–49.

[8] D. Bessis, F. Digne, J. Michel, *Springer theory in braid groups and the Birman-Ko-Lee monoid*, Pacific J. Math. **205** (2002), 287–310.

[9] J. Birman, K. H. Ko, S. J. Lee, *A new approach to the word and conjugacy problem in the braid groups*, Adv. Math. **139** (1998), no. 2, 322–353.

[10] T. Brady, C. Watt, *A partial order on the orthogonal group*, Comm. Algebra **30** (2002), no. 8, 3749–3754.

[11] ———, *$K(\pi, 1)$'s for Artin groups of finite type*, Proceedings of the Conference on Geometric and Combinatorial Group Theory, Part I (Haifa, 2000), Geom. Dedicata **94** (2002), 225–250.

[12] ———, *Non-crossing partition lattices in finite real reflection groups*, Trans. Amer. Math. Soc. **360** (2008), no. 4, 1983–2005.

[13] E. Brieskorn, *Automorphic Sets and Braids and Singularities*, Contemp. Math. **78**, 1988 (Braids), 45–115.

[14] M. Broué, G. Malle, R. Rouquier, *On complex reflection groups and their associated braid groups*, Representations of groups (Banff, AB, 1994), CMS Conf. Proc., vol. 16, Amer. Math. Soc., Providence (1995), 1–13.

[15] ———, *Complex reflection groups, braid groups, Hecke algebras*, J. Reine Angew. Math. **500** (1998), 127–190.

[16] R. W. Carter, *Conjugacy classes in the Weyl groups*, Compos. Math. **25** (1972), 1–52.

[17] F. Chapoton, *Enumerative properties of generalized associahedra*, Sém. Lothar. Combin. **51** (2004), Art. B51b (electronic).

[18] P. Dehornoy, *Braids and self-distributivity*, Progress in Math. **192**, Birkhäuser, 2000.

[19] ———, *Groupes de Garside*, Ann. Sci. Éc. Norm. Supér. (4) **35** (2002), 267–306.

[20] P. Deligne, letter to E. Looijenga, 9/3/1974.

[21] C. Ingalls and H. Thomas, *Noncrossing partitions and representations of quivers*, arXiv preprint `math.RT/0612219`, to appear in Compos. Math. .

[22] S. K. Lando, A. K. Zvonkin, *Graphs on surfaces and their applications*, Encyclopaedia Math. Sci. **141**, Springer, 2004.

[23] S. K. Lando, D. Zvonkine, *On multiplicities of the Lyashko-Looijenga mapping on the discriminant strata*, Funct. Anal. Appl. **33** (1999), no. 3, 21–34 and 96 (in Russian), 178–188 (in English).

[24] E. Looijenga, *The complement of the bifurcation variety of a simple singularity*, Invent. Math. **23** (1974), 105–116.

[25] N. Reading, *Chains in the noncrossing partition lattice*, SIAM J. Discrete Math. **22** (2008), no. 3, 875–886.

[26] V. Reiner, *Non-crossing partitions for classical reflection groups*, Discrete Math. **177** (1997), 195–222.

[27] T. A. Springer, *Regular elements of finite reflection groups*, Invent. Math. **25** (1974), 159–198.

[28] R. P. Stanley, *Enumerative combinatorics*, vol. 1, Cambridge Stud. Adv. Math. **29**, Cambridge Univ. Press, 1997.

[29] R. Steinberg, *Differential equations invariant under finite reflection groups*, Trans. Amer. Math. Soc. **112** (1964), 392-–400.

DMA, École normale supérieure, 45 rue d'Ulm, 75230 Paris cedex 05, France
E-mail address: `vivien.ripoll@ens.fr`